

후판 사상압연기 작업률 초기 크라운 설정

김 종 택,* 서 재 형,* 정 병 원**

Establishment of Initial Work Roll Crown in Finishing Plate Mill

J. T. Kim, * J. H. Seo, * B. W. Jung**

ABSTRACT

To find a way for establishing work roll initial crown according to roll conditions, computer simulation for predicting plate crown in plate mill is done and effects of roll conditions on plate crown is analyzed. Roll gap profile and plate crown are measured to be compared to the calculated values. As a result, regression equation to establish work roll initial crown according to roll conditions such as backup roll diameter, backup roll crown and work roll diameter is obtained.

Key Words : Finishing Plate Mill(후판 사상압연기), Work Roll(작업률), Plate Crown(판 크라운), Backup Roll(보강률), Initial Crown(초기 크라운)

1. 서 론

후판 제조공정은 크게 나누어 가열, 조압연(roughing rolling) 및 사상압연(finishing rolling) 등으로 구성되어 있다. 슬라브(slab)를 가열로에서 필요 온도로 가열하고 가열된 슬라브를 조압연기에서 중간 두께까지 압연한 후, 사상압연기에서 다시 목표 두께까지 가역압연(reverse rolling)하여 후판(plate)으로 제조하게 된다. 사상압연기는 4단(4-high)롤로 구성되어 있고 1셋트의 작업률을 이용하여 강종, 판 사이즈 및 패스(pass)수 등이 다양한 압연작업을 수행하게 된다.

일반적으로 압연작업시 압연조건이 동일할지라도 보강률(back-up roll, BUR) 직경, 보강률 크라운(crown), 작업률(work roll, WR) 직경 등의 룰조건이 다르면 룰 탄성변형에 차이가 발생하기 때문에, 압연된 판의 판크라운 역시 달라지게 된다. 후판 사상압연에서는 이러한 차이를 보강률 직경, 크라운 및 작업률 직경에 대응하여 작업률의 초기 크라운을 변경시켜 보상하므로써 동일 압연조건에서는 동일한 압연판 크라운이 얻어지도록 하고 있다. 작업률의 초기 크라운(initial crown)은 룰연마시에 결정되며 압연작업성 및 제품 품질에도 크게 영향을 미치는 중요한 요소이다. 즉, 작업

* POSCO 기술연구소 시스템연구팀(정희원)

** 포항제철 후판부

롤의 초기 크라운이 너무 크게 설정되면 압연작업중 판의 중앙부가 크게 연신되고, 너무 작게 설정되면 판의 엣지(edge)부가 과대 연신되어 압연판의 평탄도가 불량하게 된다.^{(1), (2)} 또한 이와같은 원인에 의해 압연 패스 수를 임의로 작업자가 변경시키게 되어 작업성에 영향을 미치는 경우도 있다. 작업롤의 초기 크라운 결정은 지금까지 작업자의 오랜 경험에 의해 롤의 직경 및 크라운에 따라 결정되어 왔으나 실제 경험이 없는 작업영역 등에서는 부정확한 설정치를 보여왔다. 근래 압연기의 롤 탄성변형 해석에 관한 여러가지 연구가 진행되어,⁽³⁾⁻⁽⁹⁾ 압연판 자체의 형상 및 크라운에 대한 분석은 많았지만 압연기 작업롤의 초기 크라운 결정에 관한 검토는 미흡한 실정이다.

본 연구에서는 후판 사상 압연기의 롤 탄성변형 해석⁽³⁾을 통하여 롤의 직경 및 크라운이 롤 변형(판 크라운)에 미치는 영향을 분석하였고, 롤캡 측정실험 및 판 크라운 측정을 통하여 롤 탄성변형 해석의 정도를 확인하였으며, 압연기의 롤조건(보강롤 직경, 작업롤 직경, 보강롤 크라운)에 따라, 적정 작업롤 초기 크라운을 설정할 수 있는 방안을 제시하였다.

2. 이론해석

2.1 후판 사상 압연기 개요

Fig. 1에 후판 사상 압연기의 개략도를 보였다. WR의 길이가 BUR의 길이보다 약간 길게 구성되어 있고, BUR 엣지부와 WR과의 접촉점에서 발생되는 집중하

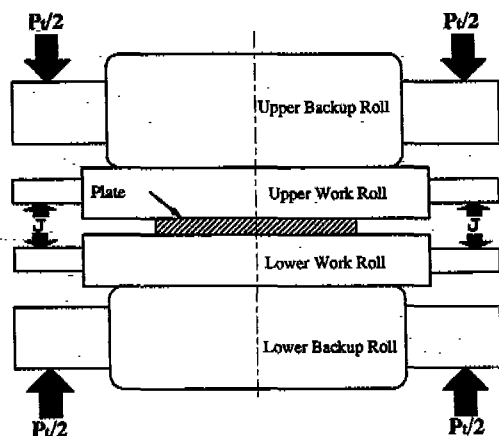
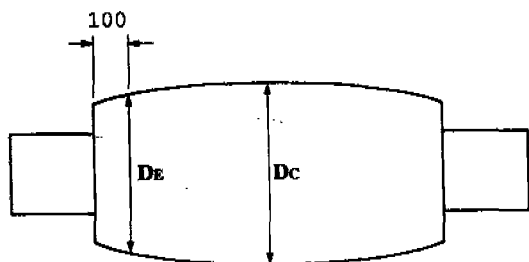


Fig. 1 Structure of 4-high mill



Roll Crown : $D_c - D_e$

Fig. 2 Definition of roll crown

중을 방지하기 위해 테이퍼를 부여하도록 구성되어 있다. 또한 롤캡에 압연재가 없는 경우 상부 롤이 떨어지는 것을 방지하고 롤의 안정을 유지하기 위해 힘(balance력) J를 항상 가하도록 되어 있으며, 압연시 탄성적인 롤굽힘에 의해 판 중앙부보다 엣지(edge)부가 많이 압연되는 것을 보정하기 위해 일정량의 2차 쪽선 형태인 롤크라운을 부여하고 있다. (Fig. 2 참조) 그리고, 후판에 있어서 압연판 크라운(crown)에 대한 정의는 판폭 중앙의 두께 (Hc)와 판 엣지부로부터 100 mm 떨어진 지점에서의 판두께 (He)의 편차 (즉, 판 크라운 = Hc - He)로 정의하여 사용하였다.

2.2 롤캡 프로파일(roll gap profile)의 측정 방법

압연기 상,하 WR의 폭방향 롤캡 분포를 측정하기 위해 롤캡 측정용 치구를 제작하였다. 롤캡 프로파일 측정 치구는 Fig. 3과 같이 사다리 모양의 양쪽 supporter에 직경 15 mm의 납봉을 롤의 폭방향 200 mm 간격으로 체결하여 제작하였다.

압연기의 롤 탄성변형에 의한 롤캡 변화량의 측정은 다음과 같은 순서로 진행하였고 측정시의 작업 및 롤 사양은 Table 1과 같다.

- 상,하 작업롤을 연마하고 이 작업롤의 폭방향 직경

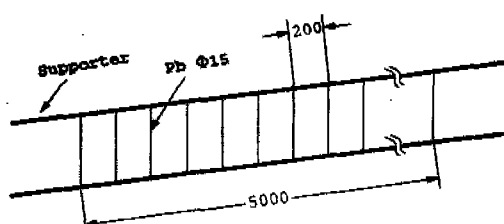


Fig. 3 Apparatus for measuring roll gap profile

Table 1 Conditions for measuring roll gap profile

Dia. of BUR (mm)	2000
Dia. of WR (mm)	1000
Length of BUR barrel (mm)	4598
Length of WR barrel (mm)	4724
Value of L4 (mm)	5918
Value of L5 (mm)	597
Crown of BUR (mm)	0.3
Crown of WR (mm)	0.45
Force for balance ton/chock	200

분포를 직경측정기를 이용, 100 mm 간격으로 측정하여 률의 초기 크라운을 산출하였다.

- 상.하 작업률을 압연기에 조립하여 WR balance력을 가하였다.
- 롤캡 open후 롤캡 측정치구를 WR 사이에 넣고 일정량 압하(롤캡 close)를 가하였다. (압하력 측정)
- 롤캡 open후 측정치구를 꺼내어 압하가 가해진 각 위치의 납봉 두께를 마이크로미터를 이용 측정하여 납봉의 두께차이를 롤캡 프로파일로 취하였다.

2.3 4단 압연기 률 탄성변형 해석⁽¹⁰⁾⁻⁽¹²⁾

4단 압연기의 률 탄성변형은 BUR 축의 굽힘, WR 축의 굽힘, BUR과 WR 접촉부의 탄성변형(면평변형), 압연재와의 접촉에 의한 WR의 편평변형 등으로 구성된다.

.ElementAt 4단 압연기의 률 탄성변형 해석에는 Fig. 4와 같은 분할모델을 이용하여, 좌.우대칭을 고려하여 률 구성의 압연기 상부, 좌측 부분만을 해석하고, 압연 길이 방향의 률 변형은

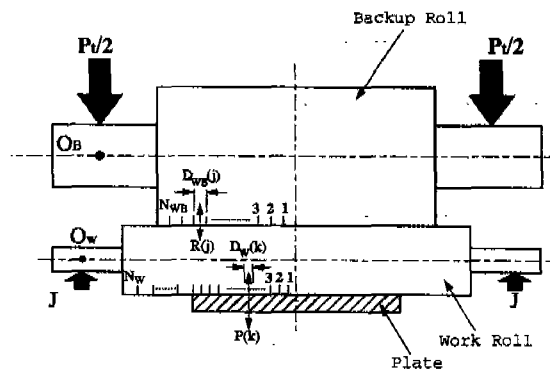


Fig. 4 Analysis model of 4-high mill

무시하였다.

또한, 압연 률의 분할시 분할 간격을 필요에 따라 조절 가능하도록 하였으며, WR의 기준점은 WR의 balance력이 가해지는 지점인 Ow, BUR의 기준점은 압연하중이 가해지는 지점인 OB로 취하였다. 해석에 이용한 수식을 정리하면 다음과 같다.

(가) 힘의 평형 방정식(WR)

$$\sum_{j=1}^{N_{WB}} R(j) \cdot D_{WB}(j) - \sum_{k=1}^{N_w} P(k) \cdot D_w(k) = J \quad (1)$$

여기서,

k :WR 분할 구역 번호

j :WR/BUR 접촉영역에서 분할구역 번호

R(j) :WR/BUR간 작용되는 단위폭당 접촉선압
(kg/mm)

P(k) :압연채로부터 WR에 걸리는 단위폭당 선압

P_t :압연하중

DWB(j) :WR/BUR 접촉영역에서 분할구간 번호 j의
분할폭

Dw(k) :WR 분할구간 번호 k의 분할폭

J :WR balance력

(나) 률 축중심 변위의 계산

- WR의 축중심 변위

$$Y_w(i) = - \sum_{j=1}^{N_{WB}} R(j) \cdot D_{WB}(j) \cdot \alpha_{w2}(i, j) + \sum_{k=1}^{N_w} P(k) \cdot D_w(k) \cdot \alpha_{w1}(i, k) \quad (2)$$

BUR의 축중심 변위

$$Y_B(i) = \sum_{j=1}^{N_{WB}} R(j) \cdot D_{WB}(j) \cdot \alpha_B(i, j) \quad (3)$$

여기서,

YB(i), YW(i) :BUR, WR의 축심변위로써, 변위의 기준점은 각각 OB, Ow로 하여 상부 률의 상향convex를 양의 값으로 하였다. (i = 1~NWB)

$\alpha_{w1}(i, k)$:WR 축심변위의 영향계수(제 k 분할구간 (k = 1~Nw)의 중심에 단위하중을 가할때 굽힘과 전단에 의한 제 i 분할구간 (i = 1~Nw) 중앙에서의 률

축심변위)

$\alpha_{W2}(i, j)$: WR 축심변위의 영향계수(제 j 분할 구간($j = 1 \sim NWB$)의 중심에 단위하중을 가할 때 굽힘과 전단에 의한 제 i 분할구간($i = 1 \sim Nw$) 중앙에서의 를 축심변위)

$\alpha_B(i, j)$: BUR 축심변위의 영향계수(제 j 분할 구간($j = 1 \sim NWB$)의 중심에 단위하중을 가할 때 굽힘과 전단에 의한 제 i 분할구간($i = 1 \sim Nw$) 중앙에서의 를 축심변위)

(다) WR/BUR간 접촉부 변위의 적합조건

$$\begin{aligned} Y_B(i) - Y_W(i) + \Delta Y_{BW} &+ R(i)/K_1 \\ &= -\{R_{CW}(i) + R_{CB}(i)\}/2 \end{aligned} \quad (4)$$

여기서,

 K_1 : WR/BUR간 스프링 상수

RCW(i), RCB(i): 직경당 를 초기 크라운, convex 크라운의 경우 양의 값으로 취하였다.

 ΔY_{BW} : WR, BUR의 Ow, Ob점의 상태 변위

(라) 폭방향 압연판 두께 프로파일

$$H(i) = H(c) + [Y_W(i) - Y_W(c) + W_S(i) - W_S(c)] \times 2.0 - R_{CW}(i) + R_{CW}(c) \quad (5)$$

여기서,

 $H(i)$: 분할구간 i에서의 판 두께 $H(c)$: 판 중앙에서의 판 두께 $Y_W(c)$: 를 중앙부에서의 WR 축중심 변형량 $W_S(i)$: 분할구간 i에서 판과의 접촉에 의한 WR의 평균변형량 $W_S(c)$: 판 중앙부에서의 WR 평균 변형량

RCW(c): 를 중앙부에서의 를 크라운 량

(마) 를 축심변위의 영향계수, 률간 스프링 상수 및 WR 평균의 계산⁽³⁾a) 를 축심변위 영향계수, $\alpha(i, j)$ 률 축심변위는 Fig. 5에 보이듯이 률을 양단 자유지지로 가정하여 j 분할 구간의 중앙(η 의 위치)에 단위 하중을 가한 경우, 제 i 분할 구간의 중앙(β 의 위치)에 서의 굽힘과 전단에 의한 변위의 합으로 표시된다. 좌우 대칭인 경우에 대해 다음의 식을 이용하였다.1) $j \leq i$ 일 때 ($\eta \geq \beta$)

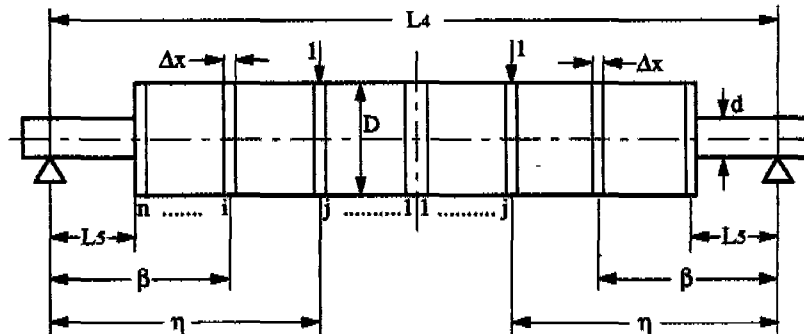
$$\alpha(i, j) = \frac{32}{3\pi E} \left[(1+\nu) \left(\frac{L_s}{d^2} + \frac{1}{D^2} (\eta - L_s) \right) + \frac{2}{d^4} L_s^3 \right. \\ \left. + \frac{1}{D^4} (3\beta\eta L_4 - 2L_s^3 - 3\eta^2\beta - \beta^3) \right] \quad (6)$$

2) $j > i$ 일 때 ($\eta < \beta$)

$$\alpha(i, j) = \frac{32}{3\pi E} \left[(1+\nu) \left(\frac{L_s}{d^2} + \frac{1}{D^2} (\eta - L_s) \right) + \frac{2}{d^4} L_s^3 \right. \\ \left. + \frac{1}{D^4} (3\beta\eta L_4 - 2L_s^3 - 3\eta\beta^2 - \eta^3) \right] \quad (7)$$

여기서, E는 률의 탄성계수이고, ν 는 poisson비이며, D는 률 몸통부위의 직경, d는 률 네코부위의 직경을 나타낸다.b) WR과 BUR간 스프링 상수, K_1 ⁽³⁾

률간 스프링 상수는 Foppl 등이 2개의 평면간에 끼

Fig. 5 Analysis model for influence coefficient, $\alpha(i, j)$

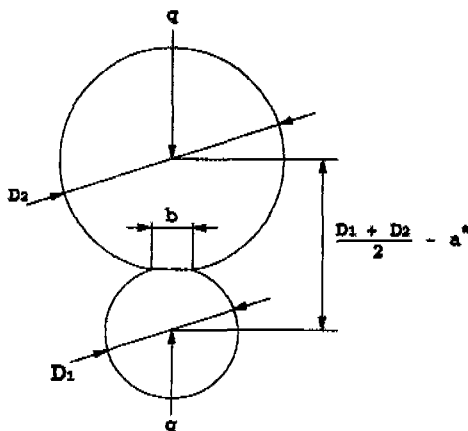


Fig. 6 Contact between two rolls

인 원주의 응력함수를 이용하여 서로 평행인 무한길이인 2개 원주의 축심접근량을 이론적으로 다음과 같이 구하였다. Fig. 6에서 두 를의 직경이 D_1 , D_2 , 종탄성 계수가 E_1 , E_2 , Poisson비 ν_1 , ν_2 , 단위폭당 가해지는 하중이 q 인 경우 축중심간의 접근량 a^* 는

$$a^* = \frac{c}{8} \cdot q \cdot \left(\frac{2}{3} + \ln \frac{2D_1}{b} + \ln \frac{2D_2}{b} \right) \quad (8)$$

$$c = \frac{8}{\pi} \left(\frac{1 - \nu_1^2}{E_1} + \frac{1 - \nu_2^2}{E_2} \right) \quad (9)$$

$$b = \sqrt{c \cdot q \cdot \frac{D_1 \cdot D_2}{D_1 + D_2}} \quad (10)$$

여기서, $K_1 = q/a^*$ 이다.

c) 압연판과의 접촉에 의한 WR의 편평변형⁽¹⁰⁾, $\delta(i,j)$ 압연판과 WR간의 압연압력 $P(j)$ 에 의해 를 표면에 편평변형이 발생하고 그것에 의해 를 출구에서의 윤곽이 변화하게 되는 테 통상 이 변화량은 반무한체의 경

계면 일부에 작용하는 분포하중에 의한 탄성학의식을 이용하여 구한다. 여기서는 Fig. 7과 같이 를 중심으로부터 η_j 의 거리에 대칭인 2개의 사각형을 가정하고 이 사각형에 일정한 면압 $P'(P(j)/ld)$ 이 작용하는 경우 A 점에서의 변위량, $\delta(i,j)$ 은 tozawa 등이 정립한 다음의 식을 이용하여 편평량을 계산하였다.

$$\delta(i,j) = \frac{1 - \nu_w^2}{\pi \cdot E_w} \cdot P(j) \cdot \{F(z_i') + F(z_i'')\} \quad (11)$$

여기서,

$$F(z) = \ln \left[\frac{\sqrt{1_d^2 + (z + \frac{\Delta z}{2})^2} + z + \frac{\Delta z}{2}}{\sqrt{1_d^2 + (z - \frac{\Delta z}{2})^2} + z - \frac{\Delta z}{2}} \right] + \frac{z + \frac{\Delta z}{2}}{1_d} \cdot \ln \left[\frac{\sqrt{(z + \frac{\Delta z}{2})^2 + 1_d^2} + 1_d}{|z + \frac{\Delta z}{2}|} \right] - \frac{z - \frac{\Delta z}{2}}{1_d} \cdot \ln \left[\frac{\sqrt{(z - \frac{\Delta z}{2})^2 + 1_d^2} + 1_d}{|z - \frac{\Delta z}{2}|} \right] \quad (12)$$

$$z_i' = |z_i - \eta_j| \\ z_i'' = |z_i + \eta_j| \quad (13)$$

2.4 컴퓨터 시뮬레이션

식 (1), (4)에서 방정식의 수는, $NWB+1$ 개이고 미지수는 $R(i)$ NWB 개, A YWB 1개 등 $NWB+1$ 개로 되어 연립방정식을 행렬로 처리하고 방정식 전체에 대해 조립하여 압연판 폭방향 판프로파일 계산을 위한 프로그램을 작성하였다.

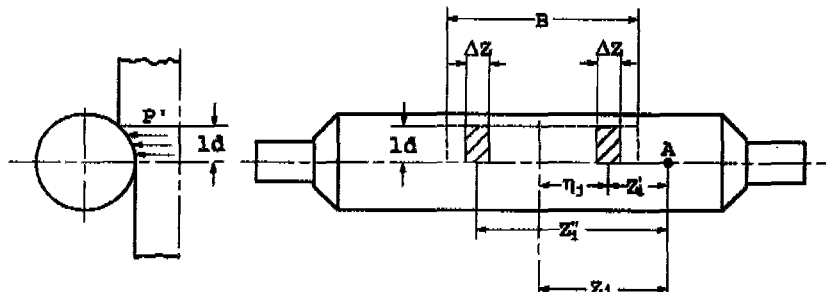


Fig. 7 Flattening of work roll

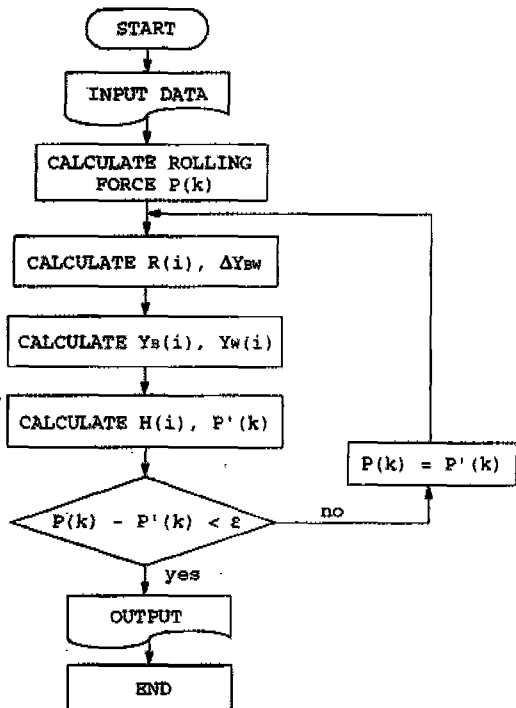


Fig. 8 Flow chart for calculating plate thickness profile

시뮬레이션 프로그램은 압연재의 폭, 두께 등의 소재 조건, 압하율, 장력 등의 운전조건, 롤 사이즈 등의 설비 조건 등을 입력할 수 있는 입력창과, 압연하중의 계산, 영향계수의 계산, 매트릭스의 조합 및 계산, 접촉 조건의 처리, 출력처리 등으로 구성되어 있다. 계산 방법은 먼저 출축 목표 두께에 따라 각 폭방향 위치에서의 압연하중식을 이용 계산하고, 각 롤의 축심변위 영향계수를 계산한 후, 연립방정식을 풀어 $R(i)$ 및 ΔY_{BW} 를 구하였다. 연립방정식은 gaussian elimination 방법을 이용하였고, 구해진 $R(i)$ 에 의해 WR 및 BUR의

Table 2 Rolling Conditions for calculating plate crown

Dia. of BUR (mm)	1900
Dia. of WR (mm)	1020
Crown of BUR (mm)	0.35
Crown of WR (mm)	0.40
Plate width (mm)	2500
Plate thickness of entry side	27.0
Plate thickness of exit side	22.0

축심변위를 구할 수 있고 판과 접하는 WR의 평평변위를 계산할 수 있다. 계산도중 발생하는 률간 비접촉 문제는 접촉하중을 0으로 하고 행렬을 재구성하여 계산하였다. 이 때 압연기의 롤 변형과 압연재의 폭방향 변형이 적합하는 조건을 구할 필요가 있는 데, 여기서는 반복계산에 의해 양자의 적합조건을 구하였다. Fig. 8은 계산 순서를 보인 것이다.

롤 탄성변형 해석 프로그램의 정도 확인을 위해 롤캡 프로파일 측정치와 계산치를 비교하였고, Table 2의 압연조건을 선택하여 실제 압연된 판크라운을 감마선 두께 측정기를 이용하여 측정하고 이를 계산치와 비교하여 프로그램의 정도를 확인하였다. 또한, WR직경, WR크라운, BUR 직경 및 BUR 크라운 등의 롤조건이 압연판 크라운에 미치는 영향을 분석였다.

2.5 WR 초기 크라운 설정

WR 초기 크라운 설정 방법은 롤 조건에 변함에 따라 발생되는 판 크라운의 변화를 WR 초기 크라운을 통해 보상하는 방식을 택하였다. 즉 주어진 압연조건 (Table 2)을 취하여 롤 조건(WR직경, BUR 직경 및 BUR 크라운)을 조업 가능한 전범위에 대해 변화시키면서, 항상 동일한 판 크라운이 생성되도록 하는 WR 초기 크라운량을 계산하였다. 이 계산 데이터를 이용하여 롤 조건 변화에 대응해 압연기 연마시에 결정해야 할 WR 초기 크라운량 계산용 회귀수식을 얻었다.

3. 결과 및 고찰

3.1 롤캡 프로파일 측정결과 및 계산치와의 비교

Fig. 9는 Table 1의 조건하에서 롤캡 프로파일 측정치와 시뮬레이션 프로그램을 이용한 계산치의 비교를 보인 것으로, 판폭 중앙부가 엣지부에 비해 롤캡이 좁은 형태를 나타내고 있다. 초기 WR 크라운이 직경당 0.45 mm였지만, 압연기에 WR을 체결한 후 WR ba-lance력 및 납봉 압연에 의한 압하력 등의 작용으로 롤캡 변화가 약 1 mm 이상 발생하였고, 계산치와 측정치는 양호하게 일치하고 있다. 또한, 기준 압연 조건(Table 2)에 대한 실제 압연된 판크라운 측정치는 0.267 mm였고 시뮬레이션 프로그램을 이용한 계산치는 0.260 mm로 역시 실제 압연에 대한 계산정도도 양호함을 확인하였다.

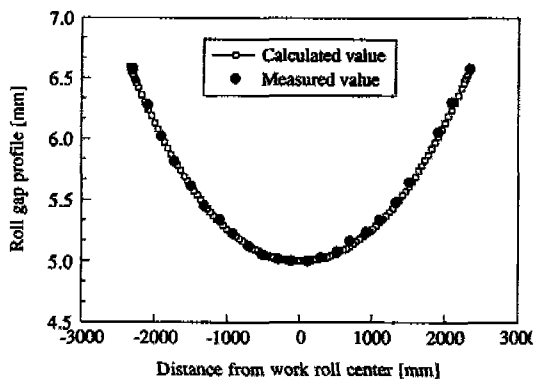


Fig. 9 Comparison between calculated and measured roll gap

3.2 를 조건이 압연판 크라운 변화에 미치는 영향

Fig. 10은 Table 2의 조건하에서 BUR 직경만을 변화시킨 경우 BUR 축중심 변형의 변화를 시뮬레이션 한 것이고, Fig. 11, Fig. 12는 동일 조건에서 BUR/WR간 접촉하중 및 판 폭방향 두께 프로파일 변화를 나타낸 것으로 BUR직경이 증가하면 압연판의 크라운은 감소하게 됨을 보여주고 있다. 이는 동일 압연조건하에서 BUR 직경이 증가하면 BUR의 강성이 증가하고 이에 의해 BUR의 굽힘이 감소하게 된다. BUR 굽힘이 감소하면 를 중앙부에서 BUR/WR 간 접촉하중이 증가하고, 이 증가량에 의해 WR 중앙부 굽힘이 감소된다. 따라서 압연판의 크라운은 감소하게 되는 것으로 판단된다.

Fig. 13은 Table 2의 조건하에서 WR직경만을 변화시키면서 계산한 판폭방향 두께 프로파일을 나타낸

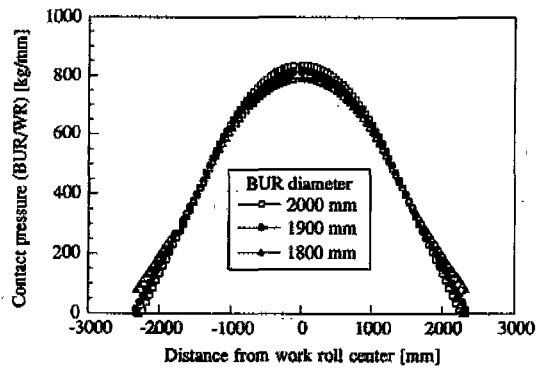


Fig. 11 Effect of BUR diameter on contact pressure (BUR/WR)

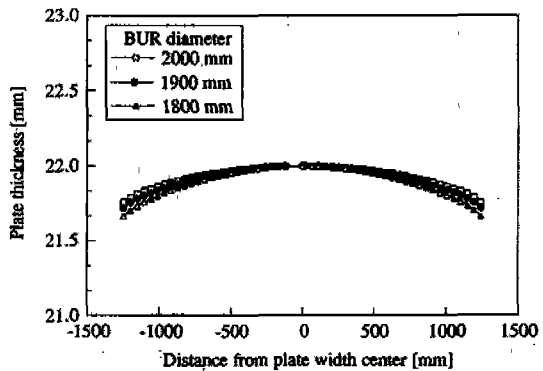


Fig. 12 Effect of BUR diameter on plate thickness

것으로, WR 직경이 증가하면 압연판의 크라운은 감소하게 됨을 보여주고 있다. 이는 동일 압연조건하에서 WR직경이 증가하면 WR강성이 증가하고, 이에 의해 WR 굽힘이 감소하게 된다. 따라서, 압연판의 크라운은

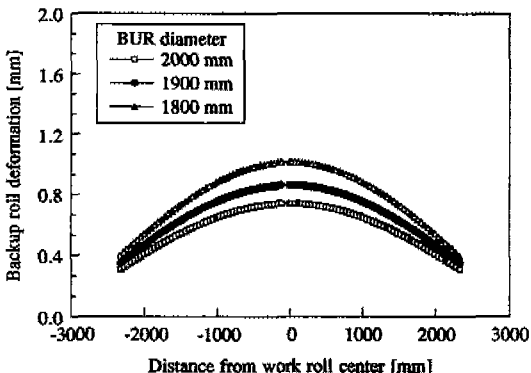


Fig. 10 Effect of BUR diameter on BUR deformation

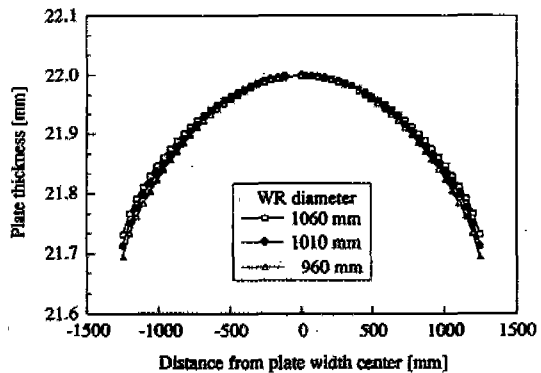


Fig. 13 Effect of WR diameter on plate thickness

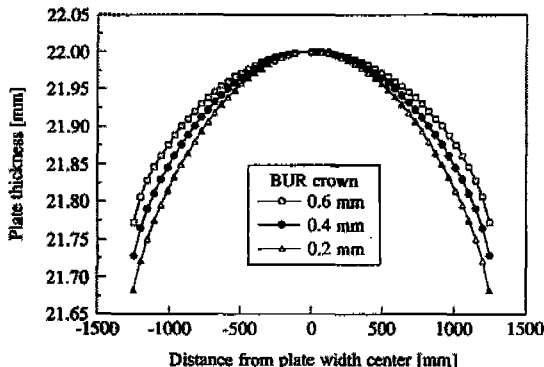


Fig. 14 Effect of BUR crown on plate thickness

감소하게 되는 것으로 판단된다.

Fig. 14는 Table 2의 조건하에서 BUR 크라운만을 변화시키면서 계산한 판폭방향 두께 프로파일을 나타낸 것으로, BUR 크라운이 증가하면 압연판의 크라운은 감소하게 됨을 보여주고 있다. 이는 동일 압연조건하에서 BUR 크라운이 증가하면 BUR/WR간 접촉압력이 둘 중앙부에서 증가하게 되고, 이에의해 압연판의 크라운은 감소하게 되는 것으로 판단된다.

Fig. 15는 Table 2의 조건하에서 WR 크라운만을 변화시키면서 계산한 판폭방향 두께 프로파일을 나타낸 것으로, WR 크라운이 증가하면 압연판의 크라운은 감소하게 됨을 보여주고 있다. 이는 동일 압연조건하에서 WR 크라운이 증가하면 BUR/WR간 접촉압력이 둘 중앙부에서 증가하게 되고, 이와함께 WR과 압연판이 직접 접촉하기 때문에 WR 크라운이 증가하게 되면 판 중앙부의 압연량이 증가하게 되어 압연판의 크라운은 감

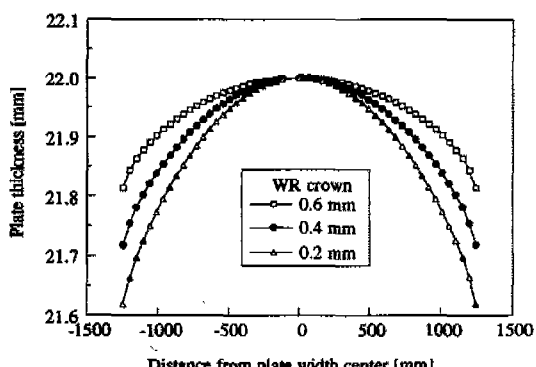


Fig. 15 Effect of WR crown on plate thickness

Table 3 Example for calculated WR initial crowns
(Unit:mm)

BUR Dia.	WR Dia.	BUR crown	WR initial crown
2000.0	1060.0	0.200	0.360
		0.230	0.360
		0.260	0.340
		0.290	0.320
		0.320	0.320
		0.350	0.300
		0.380	0.280
		0.410	0.260
		0.440	0.260
		0.470	0.240
		0.500	0.220

소하게 되는 것으로 판단된다.

3.3 WR 초기 크라운 결정

Table 3은 BUR직경 2000 mm, WR직경 1060 mm인 조건에 대해 BUR의 크라운을 변화시킨 경우 보상해야 할 WR 초기 크라운 값을 계산한 것이다. 3.2항에서 보이는 바와같이 BUR 크라운이 증가하게 되면 압연판크라운은 감소하는 경향을 보이기 때문에 이를 보상하는 WR 초기 크라운은 감소하게 된다. 이와 같은 방법으로 사용가능한 모든 둘 조건(BUR직경, WR직경, BUR크라운)에 대한 WR 초기 크라운 보상값을 계산하였고 이 데이터를 근거로식 (14)와 같은 WR초기 크라운 결정용 수식을 작성하였다. Table 4는식 (14)에 있어서 각 회귀계수이고 수식 작성시 r-square치는 0.98이었다.

$$R_{CW}(c) = A_1 \times \ln(1/D_B) + B_1 \times \ln(1/D_W) + C_1 \times \ln(1/C_B) \\ + A_2 \times (1/D_B) + B_2 \times (1/D_W) + C_2 \times (1/C_B) \\ + A_3 \times (1/D_B)^2 + B_3 \times (1/D_W)^2 + C_3 \times (1/C_B)^2 + M \quad (14)$$

여기서,

$R_{CW}(c)$: WR 설정 Crown

D_B : BUR 직경 (mm)

D_W : WR 직경 (mm)

C_B : BUR Crown (mm)

Table 4 Regression coefficients

A ₁	49.803804
B ₁	-2.762504
C ₁	-0.395251
A ₂	181,351
B ₂	-1,892.164068
C ₂	-0.108459
A ₃	-79,099,990
B ₃	-32,436
C ₃	0.004721
M	-428.252021

A₁~A₃:회귀계수

M :Intercept

4. 결 론

후판 사상압연기의 작업률 초기 크라운 설정을 위한 이론해석 및 실험을 통해 다음의 결론을 얻었다.

- 1) 4단 압연기 를 탄성변형 해석 프로그램에 의한 롤 갭 예측치는 실험결과와 양호하게 일치하였다.
- 2) BUR직경, BUR 크라운 및 WR 직경이 증가하면 압연판의 판 크라운은 감소하게 되므로 작업률 크라운을 감소시키는 방향으로 보상하여야 한다.
- 3) 롤 조건(BUR 직경, BUR 크라운, WR 직경) 등의 변화에 대응하여 실조업에서 사용 가능한 WR 초기 크라운 결정 수식을 작성하였다.

참고문현

1. 日本塑性加工學會, 1993, “板壓延(塑性加工技術 シ

リーズ 7)”, コロナ社, 日本, pp.13-23

2. 金鐘澤 外, 1993, “젠지미어 압연기에서 Quarter Wave 방지”, 대한기계학회 논문집, 제17권, 제2호, pp. 257-266
3. 이영호 外, 1989, “젠지미어 압연기 를 변형해석”, 대한기계학회, Vol. 14, No. 6, pp. 1689-1699
4. 河野 外, 1975, “左右非對稱壓延のロールたわみ式”, 第26回 塑性加工聯合講演會, pp. 49
5. A. Mizuta 外, 1987, “多段壓延機の形狀制御特性”, 塑性と加工, Vol. 28, No. 321, pp. 1042-1047
6. 松下 哲 外, 1981, “20段ゼンジニア壓延機のロール變形解析(第2報)”, 第32回 塑性加工聯合講演會, pp. 169-172
7. 松下 哲 外, 1985, “20段ゼンジニア壓延機のロール變形解析(第3報)”, 第32回 塑性加工聯合講演會, pp. 121-124
8. 小川 茂 外, 1991, “クラスター-壓延機の簡易形狀解析モデルの導出”, 第42回 塑性加工聯合講演會, pp. 481-484
9. HARA K. et al, 1991, “Shape Controllability for Quarter Buckles of Strip in 20-high Sendzimir Mills”, ISIJ, Vol. 31, No. 6, pp. 607-613
10. 日本鐵鋼協會, 1983, “板壓延の理論と實際”, pp. 89-95
11. Shohet K. N. et al, 1968, “Roll Bending Methods of Crown Control in Four-High Plate Mills”, JISI, Vol. 11, pp. 1088
12. 戸澤 外, 1970, “ロール의變形と壓延分布に及ぼすロールクラウンの影響”, 塑性と加工, Vol. 16, No. 171, pp. 345-351